

09; 10

(C) 1992

РЕАЛИЗАЦИЯ ВЫСОКОГО УСИЛЕНИЯ
В МОЩНОМ ИМПУЛЬСНОМ СВЧ УСИЛИТЕЛЕ
СО ВЗРЫВОЭМИССИОННОЙ ПУШКОЙ

А.Б. В о л к о в, Н.И. З а й ц е в, Е.В. И л я к о в,
Н.Ф. К о в а л е в, Б.Д. К о л ь ч у г и н,
Г.С. К о р а б л е в, И.С. К у л а г и н

Переход к сильноточным релятивистским электронным пучкам и многомодовым электродинамическим системам позволил в сантиметровом диапазоне длин волн существенно (до 10^9 - 10^{10} Вт) поднять выходную мощность СВЧ генераторов [1, 2]. В усилительных же приборах такого рода мощности пока менее высоки [3-5], что связано прежде всего с ограничением величины усиления как большими шумами, присущими, вероятно, сильноточным электронным пучкам, формируемым с взрывоэмиссионных катодов, так и возрастанием опасности самовозбуждения не только рабочей, но и паразитных мод (и/или их комбинаций).

Один из возможных методов преодоления этих ограничений состоит в разбиении пространства взаимодействия на секции с различными режимами работы [6, 7] и в сужении полосы усиления. Если одна из секций работает в режиме регенеративного усиления, а остальные секции – устойчивые к самовозбуждению широкополосные усилители, то вблизи стартового режима мощность шума на выходе прибора ($P_{шум} \approx s \Delta f k_p (\prod_i k_i)$) не зависит от величин, изменяющих $I_{ст}$, например, от диаметра пучка. Связано это с тем, что максимальное значение регенеративного усиления $k_p \sim (I_{ст}/I-1)^{-\alpha}$, а его полоса $\Delta f/f \sim (I_{ст}/I-1)^\alpha$. Здесь α – постоянная, не зависящая от $I_{ст}$, s – спектральная плотность шума на входе, $\prod_i k_i$ – произведение коэффициентов усиления в широкополосных усилительных секциях.

Экспериментальные исследования проводились на трехсекционном усилителе с регенеративной секцией (рис. 1) [8]. В секциях ЛОВ и ЛБВ применялись электродинамические системы в виде отрезков плавно гофрированных волноводов с поперечными размерами $D \geq \lambda$, где λ – длина волны излучения.

Трубчатый электронный пучок (энергия электронов $\approx 4 \cdot 10^5$ эВ, ток $\approx 10^3$ А, длительность $\approx 2 \cdot 10^{-8}$ с) формировался ускорителем „Синус-6“ [9]. Его диаметр в первом каскаде D_1 можно было менять за счет изменения частичной экранировки импульсного ведущего магнитного поля (длительность полупериода ≈ 3 мс, индук-

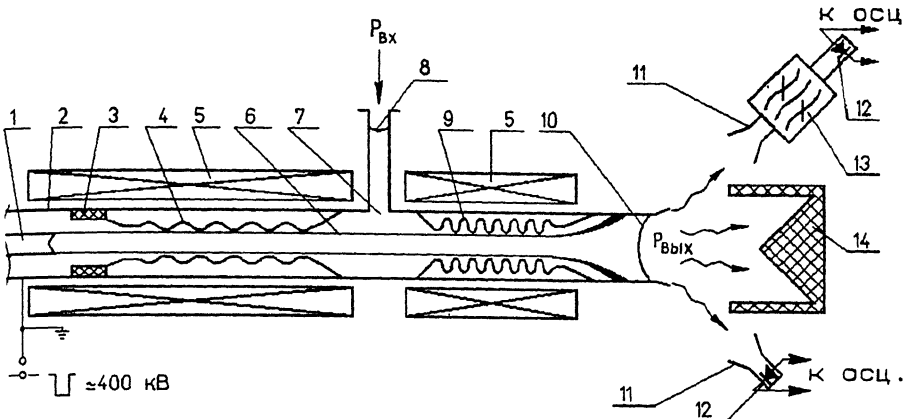


Рис. 1. Схема эксперимента: 1 - катод, 2 - анод, 3 - СВЧ поглотитель, 4 - ЛОВ, 5 - соленоиды, 6 - электронный пучок, 7 - квазиоптический ввод мощности, 8 - входное вакуумное окно, 9 - ЛБВ, 10 - выходное вакуумное окно, 11 - приемные рупоры, 12 - СВЧ детекторы, 13 - полосовой фильтр, 14 - калориметр.

ция ≈ 2 Тл) подбором времени „встрела“. Тем самым изменялось соотношение $I/I_{\text{ст}}$, регулировалась полоса усиливаемых частот в ЛОВ и коэффициент регенеративного усиления k_p . Сопротивление излучения в осесимметричную волну электрического типа в ЛБВ было подобрано несколько большим оптимального, соответствующего максимальному КПД, значения $(R_{\Sigma}/R_{\Sigma \text{ опт}} \approx 2-5)$ [10], что позволило реализовать сравнительно широкую полосу усиления ($\Delta f_3 \geq 0.1 f$) без заметного снижения эффективности взаимодействия (расчетный КПД $\eta > 0.2$) [10]. Высокочастотная мощность вводилась квазиоптическим преобразователем в промежуток между ЛОВ и ЛБВ и отсюда в недовозбужденную ЛОВ. Промодулированный в ЛОВ электронный пучок, пройдя участок дрейфа (квазиоптический преобразователь), поступал на вход широкополосной ЛБВ ($\Delta f_3/f \approx 0.1$).

При диаметре пучка в первой секции, превышающем некоторое критическое значение ($D_1 > D_{\text{кр}}$), секция ЛОВ самовозбуждалась на рабочей волне с частотой 8.95 ГГц и система генерировала излучение без входного сигнала. Выходная мощность и КПД в этих режимах достигали $P \approx 100$ МВт и $\eta \approx 0.25$. Отметим, что при всех допустимых в эксперименте диаметрах пучка ЛБВ была устойчива, а ЛОВ могла самовозбуждаться только на рабочей волне.

Если диаметр пучка в первой секции был меньше критического и входной сигнал отсутствовал, мощность на выходе усилителя становилась ниже пороговой ($P_{\text{мин}} \approx 10^6$ Вт) для использованного

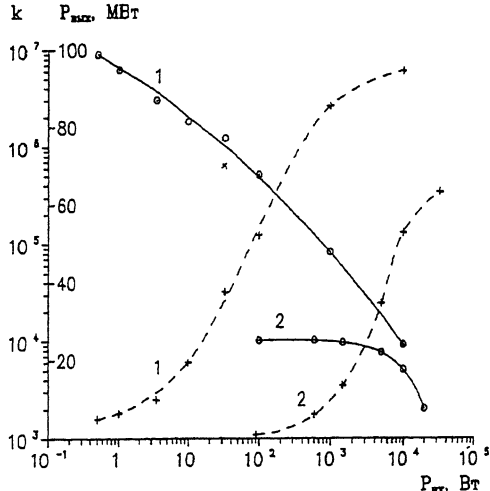


Рис. 2. Выходная мощность (пунктирные линии) и коэффициент усиления (сплошные линии) в зависимости от входной мощности для двух диаметров электронного пучка в ЛОВ: 1 - $D_1 = D_{kr} - 0.01$ см; 2 - $D_1 = D_{kr} - 0.11$ см.

калориметра [11]. Порог чувствительности (P_{\min}) измерителя выходной мощности выбран так, что $P_{\text{шум}} < P_{\min} \ll P_{\max}$, поэтому без входного сигнала ($P_{\text{вх}} = 0$) мощность на выходе прибора могла наблюдаться только при $I > I_{\text{ст}}$, а в области $0 \leq I_{\text{ст}} / I - 1 \ll 1$, где реализуются большие коэффициенты усиления, шумовой сигнал не регистрировался ($P_{\text{шум}} < P_{\min}$).

На рис. 2 представлены экспериментальные зависимости зависимости полного коэффициента усиления $k = P_{\text{вых}} / P_{\text{вх}}$ и выходной мощности $P_{\text{вых}}$ от входной $P_{\text{вх}}$ для двух значений диаметра пучка в ЛОВ $D_1: D_1 = D_{kr} - 0.11$ см и $D_1 = D_{kr} - 0.01$ см. В первом случае усиление не превышало 40 дБ. На границе ($P_{\text{вх}} \approx 5 \cdot 10^3$ Вт), где начинается ограничение усиления, выходная мощность и КПД составляли $P_{\text{вых}} \approx 4 \cdot 10^7$ Вт и $\gamma \approx 0.1$. При $D_1 = D_{kr} - 0.01$ см усиление малых сигналов было существенно выше и достигало ≈ 70 дБ, а область режима „линейного“ усиления уменьшилась до $P_{\text{вх}} \lesssim 1$ Вт. На границе этой области мощность и КПД ($P_{\text{вых}} \approx 10^7$ Вт, $\gamma \approx 0.02$) заметно отличаются от первого случая, что связано, по-видимому, с дополнительным ограничением усиления в ЛОВ и дрейфовом пространстве.

Во всех проведенных экспериментах структура поля выходного излучения соответствовала расчетной, что свидетельствует о работе секций на рабочих модах электродинамических систем. Центральные частоты спектров входного и выходного сигналов были близки. Полоса усиливаемых частот при $D_1 = D_{\text{кр}} - 0.11$ см была $\approx 3\%$, а при $D_1 = D_{\text{кр}} - 0.01$ см - значительно меньше.

Примечательно, что в проведенных экспериментах с увеличением D_1 ($D_1 < D_{\text{кр}}$) стабильность параметров выходного излучения заметно снижалась. Особенно это было заметно в режимах усиления малых сигналов ($P_{\text{вх}} < 1$ Вт), когда наблюдались даже пропуски выходных импульсов. Таким образом, для успешной реализации примененного метода усиления, связанного с работой ЛОВ вблизи старового режима, необходимо иметь электронный пучок с достаточно стабильными параметрами. Кроме того, желательно увеличение длительности импульса тока ввиду сужения полосы усиления.

Авторы благодарят М.И. Петелина за внимание к работе и полезные обсуждения.

Список литературы

- [1] Абубакиров Э.Б., Белоусов В.И., Варганинов В.Н. и др. // Письма в ЖТФ. 1983. Т. 9. В. 9. С. 533-535.
- [2] Бугаев С.П., Канавец В.И., Климов А.И. и др. // Радиотехника и электроника. 1987. Т. 32. В. 7. С. 1488-1495.
- [3] Wharton C.B., Bulte r J.M., Furukawa S. et al. In: Proc. 8-th Int. Conf. on High-Power Particle Beams. Novosibirsk, 1990. V. 2. P. 1229-1234.
- [4] Абубакиров Э.Б., Ботвинник И.Е., Братман В.Л. и др. // ЖТФ. 1990. Т. 60. В. 11. С. 186-187.
- [5] Shiffle r D., Ivers J.D., Kersh- lick G.S. et al. // Appl. Phys. Lett. 1991. V. 58. N 9. P. 899-901.
- [6] Klee n W., Rösch K. Einführung in die Mikrowellen Elektronik. Teil 2. Stuttgart: S. Hirzel Verlag, 1958. 270 s.
- [7] Абубакиров Э.Б., Ковалев Н.Ф., Петелин М.И. и др. В сб.: Тез. докл. Всес. семинара по релятивистской высокочастотной электронике. М.: МГУ, 1984. с. 72.
- [8] Зайцев Н.И., Иляков Е.В., Ковалев Н.Ф. и др. В сб.: Тез. докл. 6 Всес. симпоз. по сильноточной электронике. Часть 3. Томск: ИСЭ СО АН СССР, 1986. С. 26-28.

- [9] М е с я ц Г.А. В сб.: Релятивистская высокочастотная электроника. Вып. 4. Горький: ИПФ АН СССР, 1984. С. 192-216.
- [10] К о в а л е в Н.Ф., С м о р г о н с к и й А.В. // Радиотехника и электроника. 1975. Т. 20. В. 6. С. 1305-1307.
- [11] З а й ц е в Н.И., И л я к о в Е.В., К о в н е р и с т ъ й Ю.К. и др. // Приборы и техника эксперимента. 1992. В. 2.

Институт прикладной
физики РАН,
Нижний Новгород

Поступило в Редакцию
23 января 1992 г.
В окончательной редакции 27 мая 1992 г.